

Metrizzabilità dei proiettivi

Consideriamo le funzioni

$$\psi_{ij} : \mathbb{R}P^n \rightarrow \mathbb{R}$$
$$\psi_{ij}([x_0, \dots, x_n]) = \frac{x_i x_j}{x_0^2 + \dots + x_n^2}$$

Sono ben definite e continue perché $\tilde{\psi}_{ij} = \psi_{ij} \circ \pi$

$$\tilde{\psi}_{ij} : \mathbb{R}^{n+1} - \{0\} \rightarrow \mathbb{R} \quad \text{continue}$$
$$\tilde{\psi}_{ij}(x_0, \dots, x_n) = \frac{x_i x_j}{x_0^2 + \dots + x_n^2}$$

Mostriamo che $\psi_{ij}([x]) = \psi_{ij}([y]) \quad \forall i, j \Rightarrow [x] = [y]$

Non è restrittivo assumere $\|x\| = \|y\| = 1 \Rightarrow x_i x_j = y_i y_j \quad \forall i, j = 0, \dots, n$

$$\Rightarrow x_i^2 = y_i^2 \quad \forall i \Rightarrow x_i = \varepsilon_i y_i \quad \text{con } \varepsilon_i = \pm 1 \quad \forall i$$

$$\exists i_0 \text{ t.c. } x_{i_0} \neq 0 \Rightarrow y_{i_0} \neq 0 \Rightarrow \varepsilon_{i_0} y_{i_0} x_j = y_{i_0} y_j \quad \forall j = 0, \dots, n$$

$$\Rightarrow \varepsilon_{i_0} x_j = y_j \quad \forall j = 0, \dots, n \Rightarrow y = \varepsilon_{i_0} x = \pm x \Rightarrow [x] = [y].$$

Ordiniamo le $\psi_{ij} \rightsquigarrow \Psi : \mathbb{R}P^n \rightarrow \mathbb{R}^{(n+1)^2}$ con componenti ψ_{ij}
 Ψ continua e iniettiva, $\mathbb{R}P^n$ compatto, $\mathbb{R}^{(n+1)^2}$ di Hausdorff \Rightarrow
 Ψ immersione $\Rightarrow \mathbb{R}P^n$ metrizzabile (\Rightarrow Hausdorff).

Nel caso complesso si procede in modo simile ma le funzioni da

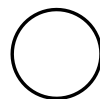
considerare sono: $\psi_{ij} : \mathbb{C}P^n \rightarrow \mathbb{C}$

$$\psi_{ij}([x_0, \dots, x_n]) = \frac{x_i \bar{x}_j}{|x_0|^2 + \dots + |x_n|^2}$$

$\rightsquigarrow \Psi : \mathbb{C}P^n \rightarrow \mathbb{C}^{(n+1)^2}$ immersione $\Rightarrow \mathbb{C}P^n$ metrizzabile ($\Rightarrow T_2$).

Rete $\mathbb{R}P^1 \rightsquigarrow H_0 = \{[0, 1]\} \Rightarrow U_0 = \mathbb{R}P^1 - \{[0, 1]\} \cong \mathbb{R} \Rightarrow$

$$\mathbb{R}P^1 \cong \hat{U}_0 \cong \hat{R} \cong S^1 \quad \boxed{\mathbb{R}P^1 \cong S^1} \quad [0, 1] = \infty.$$



$$CP^1 \rightsquigarrow H_0 = \{[0, 1]\} \Rightarrow U_0 = CP^1 - \{[0, 1]\} \cong C \Rightarrow$$

$$CP^1 \cong \hat{U}_0 \cong \hat{C} \cong \hat{R}^2 \cong S^2 \quad \boxed{CP^1 \cong S^2} \quad [0, 1] = \infty.$$



NB RP^n e CP^n non sono omeomorfi a sfere per $n > 1$.

Incollamenti topologici

- $A \subset X$, $\varphi: A \rightarrow X \rightsquigarrow X_\varphi := X / (a \sim \varphi(a) \forall a \in A)$
 X_φ ottenuto da X incollando ciascun punto $a \in A$ con $\varphi(a)$ con la topologia quoziente.
- $A \subset X$, $\varphi: A \rightarrow Y \rightsquigarrow X \cup_\varphi Y := (X \cup Y) / (a \sim \varphi(a) \forall a \in A)$
 unione di X e Y mediante φ con la topologia quoziente.
 Se la mappa φ è ovvia si scrive anche $X \cup_A Y$.

Es $\varphi: \{0\} \rightarrow [0, 1]$, $\varphi(0) = 1 \rightsquigarrow [0, 1] / (0 \sim 1) \cong S^1$

Sfere

$$S^m = S_+^m \cup S_-^m \quad S_+^m = \{(x_0, \dots, x_m) \mid x_m \geq 0\}$$

$$S_-^m = \{(x_0, \dots, x_m) \mid x_m \leq 0\}$$

$$S_+^m \cap S_-^m = S^{m-1}$$

$$\pi_+ : S_+^m \xrightarrow{\cong} B^m, \quad \pi_+(x_0, \dots, x_m) = (x_0, \dots, x_{m-1}) \quad \text{omeo}$$

$$\pi_- : S_-^m \rightarrow B^m, \quad \pi_-(x_0, \dots, x_m) = (x_0, \dots, x_{m-1}) \quad \text{omeo}$$

$$\Rightarrow S^m \cong B^m \cup_{S^{m-1}} B^m, \quad \partial B^m = S^{m-1} \quad \text{incollato mediante } i_{S^{m-1}}$$

Es $S^1 = B^1 \cup_{\{0,1\}} B^1$

$S^2 = B^2 \cup_{S^1} B^2$

$S^3 = B^3 \cup_{S^2} B^3$

RPⁿ

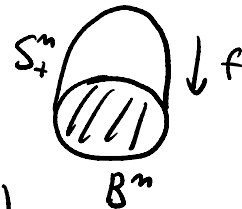
$p: S^n \rightarrow RP^n, p(x) = [x] \rightsquigarrow S_+^n = \{(x_0, \dots, x_n) \in S^n \mid x_n \geq 0\}$

$P|_{S_+^n}: S_+^n \rightarrow RP^n$ suriettiva e $\forall x, y \in S_+^n,$



$P(x) = P(y) \Leftrightarrow x = y \text{ o } x = -y \in S^{n-1} \subset S^n \Rightarrow$

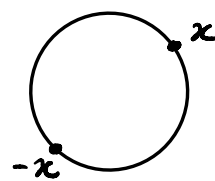
$RP^n = S_+^n / (x \sim -x \forall x \in S^{n-1} \subset S_+^n)$



$f: S_+^n \xrightarrow{\cong} B^n, f(x_0, \dots, x_n) = (x_0, \dots, x_{n-1})$ omeo

$f|_{S^{n-1}} = id_{S^{n-1}} \Rightarrow RP^n \cong B^n / (x \sim -x \forall x \in S^{n-1})$

e l'immagine di S^{n-1} è $RP^{n-1} \subset RP^n$.



Es $RP^2 \cong B^2 / (x \sim -x \forall x \in S^1)$

Quozienti notevoli del quadrato

Identifichiamo linearmente i lati in accordo con le frecce.

1) \rightsquigarrow $\cong S^1 \times I$ cilindro

2) \rightsquigarrow Striscia di Möbius $M_b, \partial(M_b) \cong S^1$

3) \rightsquigarrow $\cong T^2$ toro

4) \rightsquigarrow Bottiglie di Klein Kl

\rightsquigarrow $\cong M_b \cup M_b \Rightarrow Kl \cong M_b \cup_{S^1} M_b$

5) \cong $\cong RP^2$ $\cong M_b \cup_{S^1} B^2$

$RP^2 \cong M_b \cup_{S^1} B^2$

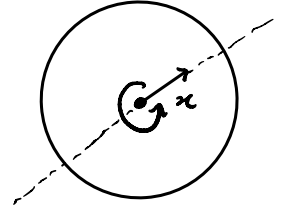
Relazione d'equivalenza indotta da un'applicazione

$$f: X \rightarrow Y \rightsquigarrow x_1 \sim_f x_2 \Leftrightarrow f(x_1) = f(x_2) \text{ su } X \rightsquigarrow X/\sim_f.$$

$RP^3 \cong SO(3)$

$\varphi: B^3 \rightarrow SO(3)$ suriettiva e continua

$x \neq 0$, $\varphi(x) =$ rotazione di asse x e angolo $\pi \|x\|$
in senso antiorario



$$\varphi(0) = \text{id}_{\mathbb{R}^3}$$

$$\varphi(x) = \varphi(y) \Leftrightarrow x = y \text{ o } x = -y \in S^2 \Rightarrow B^3/\sim_\varphi \cong RP^3$$

$$B^3 \xrightarrow{\varphi} SO(3)$$

$$\begin{array}{ccc} \pi \downarrow & \cong \nearrow & \bar{\varphi} \\ RP^3 \cong B^3/\sim_\varphi & & \bar{\varphi}([x]) = \varphi(x) \end{array}$$

$\bar{\varphi}$ ben definita e continua perché $\pi \circ \bar{\varphi} = \varphi$ continua

$\bar{\varphi}$ biettiva, B^3/\sim_φ compatto, $SO(3) T_2 \Rightarrow \bar{\varphi}$ omeo

$$\Rightarrow RP^3 \cong SO(3).$$